

Starkniederschlagshöhen und -spenden gemäß KOSTRA-DWD-2020

Rasterfeld 163106

(Zeile 163, Spalte 106)

Regenspende und Bemessungsniederschlagswerte in Abhängigkeit von Wiederkehrzeit T und Dauerstufe D

| Dauerstufe D | | Wiederkehrzeit T | | | | | | | | | | | | | | | | | |
|--------------|-----|------------------|------------|------|------------|------|------------|------|------------|------|------------|-------|------------|-------|------------|-------|------------|-------|------------|
| | | 1 a | | 2 a | | 3 a | | 5 a | | 10 a | | 20 a | | 30 a | | 50 a | | 100 a | |
| min | Std | mm | l / (s ha) | mm | l / (s ha) | mm | l / (s ha) | mm | l / (s ha) | mm | l / (s ha) | mm | l / (s ha) | mm | l / (s ha) | mm | l / (s ha) | mm | l / (s ha) |
| 5 | | 6,9 | 230,0 | 8,5 | 283,3 | 9,4 | 313,3 | 10,7 | 356,7 | 12,6 | 420,0 | 14,5 | 483,3 | 15,7 | 523,3 | 17,4 | 580,0 | 19,7 | 656,7 |
| 10 | | 8,8 | 146,7 | 10,8 | 180,0 | 12,1 | 201,7 | 13,7 | 228,3 | 16,1 | 268,3 | 18,6 | 310,0 | 20,2 | 336,7 | 22,3 | 371,7 | 25,3 | 421,7 |
| 15 | | 10,0 | 111,1 | 12,3 | 136,7 | 13,7 | 152,2 | 15,6 | 173,3 | 18,3 | 203,3 | 21,1 | 234,4 | 22,9 | 254,4 | 25,3 | 281,1 | 28,7 | 318,9 |
| 20 | | 10,9 | 90,8 | 13,4 | 111,7 | 15,0 | 125,0 | 17,0 | 141,7 | 19,9 | 165,8 | 22,9 | 190,8 | 24,9 | 207,5 | 27,5 | 229,2 | 31,2 | 260,0 |
| 30 | | 12,2 | 67,8 | 15,0 | 83,3 | 16,8 | 93,3 | 19,0 | 105,6 | 22,3 | 123,9 | 25,7 | 142,8 | 27,9 | 155,0 | 30,8 | 171,1 | 35,0 | 194,4 |
| 45 | | 13,6 | 50,4 | 16,8 | 62,2 | 18,7 | 69,3 | 21,2 | 78,5 | 24,9 | 92,2 | 28,7 | 106,3 | 31,1 | 115,2 | 34,4 | 127,4 | 39,0 | 144,4 |
| 60 | 1 | 14,7 | 40,8 | 18,1 | 50,3 | 20,2 | 56,1 | 22,9 | 63,6 | 26,8 | 74,4 | 30,9 | 85,8 | 33,6 | 93,3 | 37,1 | 103,1 | 42,1 | 116,9 |
| 90 | 1,5 | 16,3 | 30,2 | 20,0 | 37,0 | 22,4 | 41,5 | 25,4 | 47,0 | 29,8 | 55,2 | 34,3 | 63,5 | 37,3 | 69,1 | 41,1 | 76,1 | 46,7 | 86,5 |
| 120 | 2 | 17,5 | 24,3 | 21,6 | 30,0 | 24,0 | 33,3 | 27,3 | 37,9 | 32,0 | 44,4 | 36,9 | 51,3 | 40,1 | 55,7 | 44,2 | 61,4 | 50,2 | 69,7 |
| 180 | 3 | 19,4 | 18,0 | 23,9 | 22,1 | 26,6 | 24,6 | 30,2 | 28,0 | 35,4 | 32,8 | 40,8 | 37,8 | 44,3 | 41,0 | 48,9 | 45,3 | 55,5 | 51,4 |
| 240 | 4 | 20,8 | 14,4 | 25,6 | 17,8 | 28,6 | 19,9 | 32,5 | 22,6 | 38,1 | 26,5 | 43,8 | 30,4 | 47,6 | 33,1 | 52,6 | 36,5 | 59,7 | 41,5 |
| 360 | 6 | 23,0 | 10,6 | 28,3 | 13,1 | 31,6 | 14,6 | 35,9 | 16,6 | 42,1 | 19,5 | 48,4 | 22,4 | 52,6 | 24,4 | 58,1 | 26,9 | 65,9 | 30,5 |
| 540 | 9 | 25,4 | 7,8 | 31,3 | 9,7 | 34,9 | 10,8 | 39,6 | 12,2 | 46,5 | 14,4 | 53,5 | 16,5 | 58,1 | 17,9 | 64,2 | 19,8 | 72,8 | 22,5 |
| 720 | 12 | 27,3 | 6,3 | 33,6 | 7,8 | 37,4 | 8,7 | 42,5 | 9,8 | 49,9 | 11,6 | 57,4 | 13,3 | 62,4 | 14,4 | 68,9 | 15,9 | 78,2 | 18,1 |
| 1080 | 18 | 30,2 | 4,7 | 37,1 | 5,7 | 41,3 | 6,4 | 47,0 | 7,3 | 55,1 | 8,5 | 63,4 | 9,8 | 68,9 | 10,6 | 76,0 | 11,7 | 86,3 | 13,3 |
| 1440 | 24 | 32,3 | 3,7 | 39,8 | 4,6 | 44,4 | 5,1 | 50,4 | 5,8 | 59,1 | 6,8 | 68,0 | 7,9 | 73,9 | 8,6 | 81,6 | 9,4 | 92,6 | 10,7 |
| 2880 | 48 | 38,3 | 2,2 | 47,1 | 2,7 | 52,5 | 3,0 | 59,7 | 3,5 | 70,0 | 4,1 | 80,6 | 4,7 | 87,5 | 5,1 | 96,6 | 5,6 | 109,7 | 6,3 |
| 4320 | 72 | 42,3 | 1,6 | 52,0 | 2,0 | 58,0 | 2,2 | 65,9 | 2,5 | 77,2 | 3,0 | 88,9 | 3,4 | 96,6 | 3,7 | 106,6 | 4,1 | 121,1 | 4,7 |
| 5760 | 96 | 45,4 | 1,3 | 55,8 | 1,6 | 62,2 | 1,8 | 70,6 | 2,0 | 82,8 | 2,4 | 95,4 | 2,8 | 103,6 | 3,0 | 114,4 | 3,3 | 129,8 | 3,8 |
| 7200 | 120 | 47,9 | 1,1 | 58,9 | 1,4 | 65,7 | 1,5 | 74,6 | 1,7 | 87,5 | 2,0 | 100,7 | 2,3 | 109,4 | 2,5 | 120,8 | 2,8 | 137,1 | 3,2 |
| 8640 | 144 | 50,1 | 1,0 | 61,5 | 1,2 | 68,6 | 1,3 | 78,0 | 1,5 | 91,4 | 1,8 | 105,3 | 2,0 | 114,4 | 2,2 | 126,3 | 2,4 | 143,3 | 2,8 |
| 10080 | 168 | 52,0 | 0,9 | 63,9 | 1,1 | 71,3 | 1,2 | 81,0 | 1,3 | 94,9 | 1,6 | 109,3 | 1,8 | 118,8 | 2,0 | 131,1 | 2,2 | 148,8 | 2,5 |

Starkniederschlagshöhen und -spenden gemäß KOSTRA-DWD-2020

Rasterfeld 163106

(Zeile 163, Spalte 106)

Örtliche Unsicherheiten in Abhängigkeit von Wiederkehrzeit T und Dauerstufe D

| Dauerstufe D | | Wiederkehrzeit T | | | | | | | | |
|--------------|-----|------------------|-----|-----|-----|------|------|------|------|-------|
| | | 1 a | 2 a | 3 a | 5 a | 10 a | 20 a | 30 a | 50 a | 100 a |
| min | Std | ± % | ± % | ± % | ± % | ± % | ± % | ± % | ± % | ± % |
| 5 | | 12 | 13 | 13 | 14 | 14 | 15 | 15 | 16 | 16 |
| 10 | | 14 | 16 | 17 | 18 | 19 | 19 | 20 | 20 | 21 |
| 15 | | 16 | 18 | 19 | 20 | 21 | 22 | 22 | 23 | 23 |
| 20 | | 17 | 19 | 20 | 21 | 22 | 23 | 23 | 24 | 24 |
| 30 | | 18 | 20 | 21 | 22 | 23 | 24 | 24 | 25 | 25 |
| 45 | | 18 | 20 | 21 | 22 | 23 | 24 | 25 | 25 | 26 |
| 60 | 1 | 18 | 20 | 21 | 22 | 23 | 24 | 24 | 25 | 26 |
| 90 | 1,5 | 17 | 19 | 20 | 21 | 22 | 23 | 24 | 24 | 25 |
| 120 | 2 | 16 | 18 | 19 | 21 | 22 | 23 | 23 | 24 | 24 |
| 180 | 3 | 15 | 17 | 18 | 19 | 21 | 21 | 22 | 22 | 23 |
| 240 | 4 | 15 | 17 | 17 | 18 | 20 | 21 | 21 | 22 | 22 |
| 360 | 6 | 14 | 15 | 16 | 17 | 18 | 19 | 20 | 20 | 21 |
| 540 | 9 | 13 | 14 | 15 | 16 | 17 | 18 | 19 | 19 | 20 |
| 720 | 12 | 12 | 14 | 15 | 15 | 16 | 17 | 18 | 18 | 19 |
| 1080 | 18 | 12 | 13 | 14 | 15 | 16 | 16 | 17 | 17 | 18 |
| 1440 | 24 | 12 | 13 | 13 | 14 | 15 | 16 | 16 | 17 | 17 |
| 2880 | 48 | 13 | 13 | 13 | 14 | 14 | 15 | 15 | 16 | 16 |
| 4320 | 72 | 13 | 13 | 14 | 14 | 14 | 15 | 15 | 15 | 16 |
| 5760 | 96 | 14 | 14 | 14 | 14 | 15 | 15 | 15 | 15 | 16 |
| 7200 | 120 | 15 | 15 | 15 | 15 | 15 | 15 | 15 | 15 | 16 |
| 8640 | 144 | 16 | 15 | 15 | 15 | 15 | 15 | 15 | 16 | 16 |
| 10080 | 168 | 16 | 16 | 15 | 15 | 15 | 16 | 16 | 16 | 16 |

Parameter für abweichende T und D

Lokationsparameter ξ (Xi)

14,93810691

Skalenparameter α (Alpha)

4,75873466

Formparameter κ (Kappa)

-0,1

1. Koutsoyiannis-Parameter θ (Theta)

0,02092096

2. Koutsoyiannis-Parameter η (Eta)

0,75648429

Parameter für dauerstufenübergreifende Extremwertschätzung nach KOUTSOYIANNIS et al. 1998.

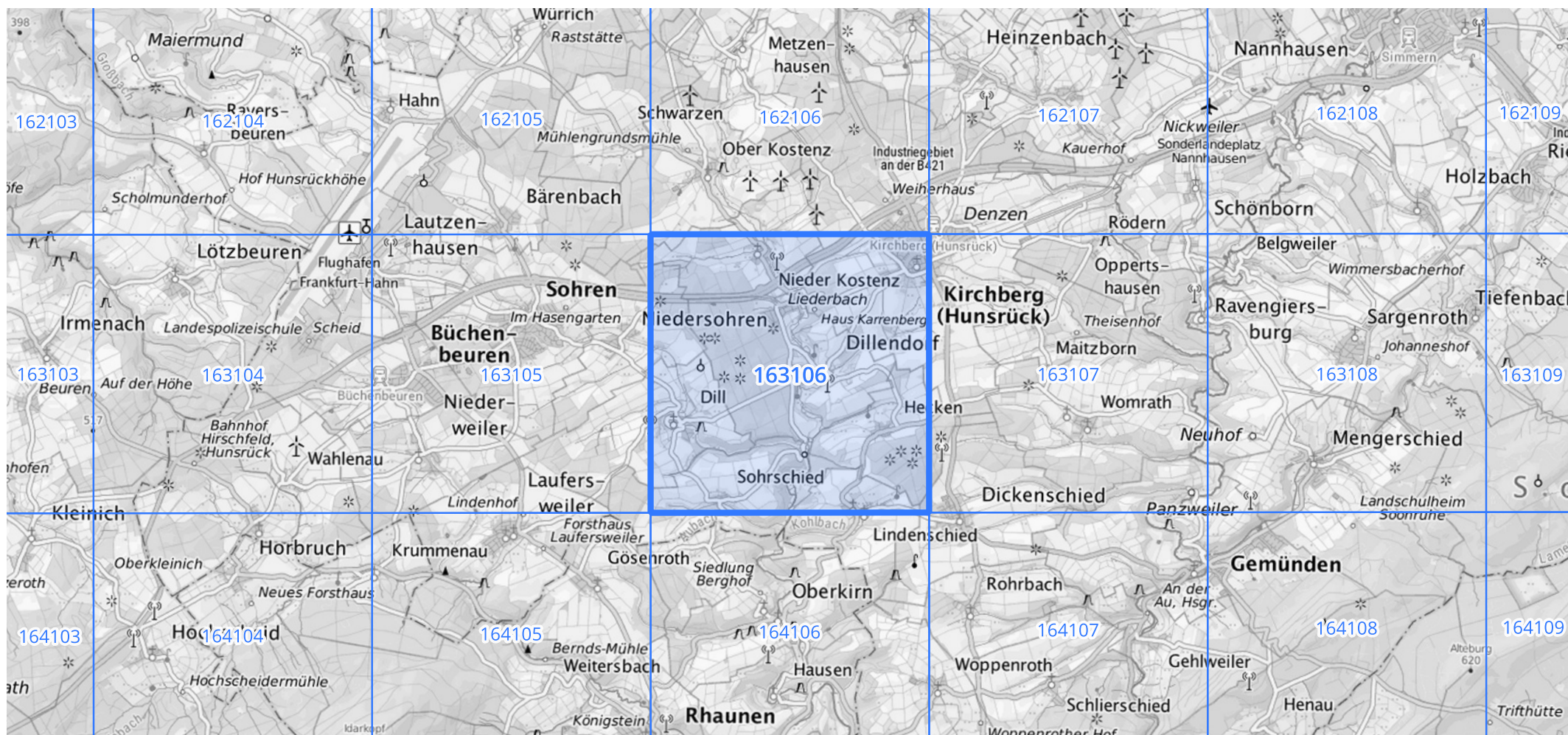
Siehe auch Anwendungshilfe zu KOSTRA-DWD-2020 des Deutschen Wetterdienstes.

Starkniederschlagshöhen und -spenden gemäß KOSTRA-DWD-2020

Rasterfeld 163106

(Zeile 163, Spalte 106)

Übersichtskarte des Rasterfeldes 163106, M 1 : 100 000



Quelle Rasterdaten: KOSTRA-DWD-2020 des Deutschen Wetterdienstes, Stand 12/2022.

Seite 3 von 3

Kartendarstellung: © Bundesamt für Kartographie und Geodäsie (2023), Datenquellen: https://sgx.geodatenzentrum.de/web_public/gdz/datenquellen/Datenquellen_TopPlusOpen.html

Für die Richtigkeit und Aktualität der Angaben wird keine Gewähr übernommen. Erstellt 01/2023.